

Persönlicher Mitschrieb aus der Blockvorlesung

Einführung in die 3D-Computer-Grafik und Virtual Reality-Visualisierung

**Dr. rer. Nat. Torsten Kuhlen
RWTH Aachen**

vom 17. – 20. Januar 2000

Inhaltsverzeichnis

I. Virtuelle Umgebungen.....	1
I.1. Charakteristische Merkmale	1
I.2. Synonyme für VR	1
I.3. Historie.....	1
I.4. Repräsentation geometrischer Objekte	2
II. Rendering polygonal repräsentierter Objekte	3
II.1. Rendering – Pipeline	3
II.2. Transformationen.....	4
II.3. Culling (Backface Elimination).....	4
II.4. Projektion.....	5
II.5. Eine <i>sehr</i> einfache Projektionsvorschrift.....	5
II.6. VR: Betrachterzentrierte, stereoskopische Projektion.....	6
II.7. Clipping	10
II.8. Hidden Surface Removal (HSR)	10
III. Licht und Reflexion	11
III.1. Das Reflexionsmodell von Phong	11
III.2. Shading.....	12
IV. Scan Conversion (Rasterisierung).....	14
IV.1. Im folgenden: „Solid Objects“	14
IV.2. Füllen der Polygone	14
IV.3. Grafik-Hardware	15
V. 3D - Akustik	16
V.1. Räumliches Hören	16
V.2. Richtungsgetreue Wiedergabe akustischer Signale.....	17
VI. Erfassung menschlicher Bewegungen	20
VII. Kollisionen (Collision Detection, CD).....	22
VII.1. Anwendungen:	22
VII.2. Fundamentaler Algorithmus	22
VIII. Anhang: Kopien	24

Bemerkungen

Für die Richtigkeit der Inhalte kann ich keinerlei Verantwortung übernehmen. Im Anhang befindet sich ein Auszug der Kopien, die in der Vorlesung ausgehändigt wurden. Auf diese wird teilweise im Text bezug genommen.

Mai 2000, Andreas Fritz

Definition:

Unter VR (Virtuelle Realität) versteht man eine *computergenerierte* Welt (Umgebung), die ein Betrachter mit seinen *natürlichen Sinnen* als real erlebt und mit der er *interagieren* kann.

I. Virtuelle Umgebungen

- Abbild der Realität
- Umgebungen der Vergangenheit und Zukunft
- In der Realität nicht wahrnehmbare Umgebungen
- Künstliche Welten (Artificial Reality)

I.1. Charakteristische Merkmale

- Interaktion
 - Freie Beweglichkeit in der virtuellen Umgebung (Navigationsaspekt)
 - Manipulation virtueller Objekte
- Natürliche Schnittstelle zwischen Benutzer und Computer
 - Dreidimensionaler Input/Output
 - Einbeziehung mehrerer menschlicher Sinne (visuell, akustisch, haptisch [taktile Rückkopplung])
- Immersion
 - Gefühl, in der Umgebung integriert zu sein

I.2. Synonyme für VR

- Cyberspace (→ Internet)
- Augmented Reality (Mischung von VR und Realität [Head-up – Display])
- Teleoperation (z. B. Fernsteuerung von weit entfernten Robotern in der Raumfahrt)
- Telemanipulation (s. Teleoperation)
- Telepräsenz (exakte VR: Gefühl, an einem bestimmten Ort zu sein)
- (Multimedia)

I.3. Historie

- | | | |
|------|---|---------------------------------|
| 1949 | Erste Computergrafik auf Whirlwind-Computern (MIT): Bouncing Ball | |
| 1952 | CG für Radar (SAGE-Computer) | |
| 1956 | Sensorama (M. Heilig) | |
| 1963 | Sketchpad – erstes interaktives Computergrafik-System | |
| 1965 | Erstes kommerzielles Vektor-Display | |
| 1965 | The „Ultimate“ Display, Head Mounted Display (HMD) mit Kopftracking | |
| 1967 | Erstes haptisches Display (Brooks, UNC) | |
| 1971 | Raster-Scan Prinzip (späte Einführung wegen den sehr hohen Speicherpreisen) | |
| 1971 | Gouraud-Shading | |
| 1974 | Texturierung (Catmull) | } lokale Schattierungsverfahren |
| 1975 | Phong-Shading | |
| 1979 | Raytracing | globales Schattierungsverfahren |
| 1984 | Radiosity | |

- 1985 Erste VR-Produkte (VPL Research)
- 1985 VIEW: Virtual Interactive Environment Workstation, NASA
- 1987 British Aerospace: Virtual Cockpit
- - - – *Entwicklungssprung* –
- 1992 CAVE: Cave Automated Virtual Environment (Cruz Neira, University of Chicago)
- 1993 Silicon Graphics Reality Engine: Hardware-gestütztes Gouraud-Shading, Texture-Mapping, Z-Buffering, Anti-Aliasing, 200.000 Polygone/Sekunde
- 1993 (Open)GL-Standard
(Graphics-Kernel-System GKS 1985, GKS 3D 1988, PHIGS 1990 [hierarchisch])
- 1994- Anwachsen der Grafikgeschwindigkeit (SGI Infinite Reality 2: 13 Mio. Polygone/Sekunde)
- heute Aufholjagd der PCs, Entwicklung von VR-Anwendungen

I.4. Repräsentation geometrischer Objekte

I.4.1. Polygonale Repräsentation

Approximation der Objekte durch Netz planarer, polygonaler Facetten

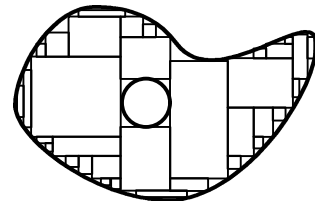
- Effiziente Schattierungsalgorithmen
- Hardwaregestütztes Rendering
- Darstellung beliebiger Geometrien
- Trade off: Genauigkeit (Anzahl Polygone) \leftrightarrow Darstellungsgeschwindigkeit

Datenstruktur: (Liste von Polygonen)

- Liste von 3D-Koordinaten (x,y,z) (Ecken der Polygone)
- Kanten implizit
- Ggf.: Normalen der Polygone und / oder Ecken (\rightarrow Schattierung)
- Hierarchische Anordnung einzelner Geometrien (Scene Graph)
- Polygone werden unabhängig voneinander dargestellt

I.4.2. Raum unterteilende Techniken

- a) Octrees (2D: Quadrees): Unterteilung einer Fläche in verschieden große Quadrate
- b) Binary Space Partitioning



I.4.3. Parametrisierte Darstellung über kubische Polynome (Spline-Flächen)

I.4.4. Constructive Solid Geometry (CSG)

I.4.5. Funktionale Repräsentation

II. Rendering polygonal repräsentierter Objekte

Definition: Rendering:

Prozess der Projektion einer in einer Datenbasis abgelegten Menge von (ggf. hierarchisch) angeordneten 3D-Objekten auf eine 2-dimensionale Abbildungsoberfläche

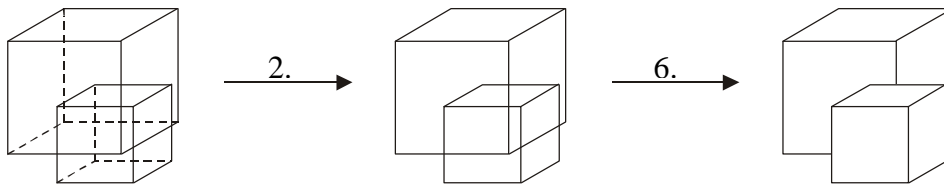
II.1. Rendering – Pipeline

II.1.1. Transformationen:

- Position und Orientierung von Objekten
- Überführung von lokalen Koordinaten einzelner Objekte in ein einziges globales Koordinatensystem
- Überführung in ein Sichtkoordinatensystem (SKS)

II.1.2. Culling:

Entfernen nicht sichtbarer Polygone



II.1.3. Perspektivische Projektion:

Überführung in Screen-Koordinatensystem

II.1.4. Clipping:

Abschneiden von Flächen außerhalb des Sichtvolumens

II.1.5. Scan Conversion:

(Rasterisierung) → Pixel

II.1.6. Hidden Surface Removal (HSR)

II.1.7. Shading:

Ermitteln der Farbwerte einzelner Pixel

Bemerkung:

- 5. – 7.: ein einziger Algorithmus
- Reihenfolge kann variieren
- 2. ist ein Spezialfall von 6. → Performance !
- Speedup über Pipelining – Prinzip

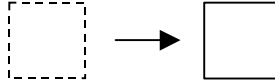
II.2. Transformationen

Polygon-Modell: nur Eckpunkte transformieren!

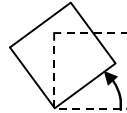
Konvention:

- Punkt als Reihenvektor (x,y,z)
- Transformation als Matrix

- Translation: $P' = P + D$



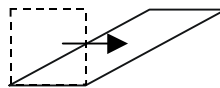
- Rotation: $P' = P \cdot R$



- Skalierung: $P' = P \cdot S$



- Scherung: $P' = P \cdot SH$



Homogene Koordinaten:

Erhöhe Dimension um 1 (2D → 3D, 3D → 4D)

→ Vereinheitlichung

→ Translation → lineare Transformation:

$P(x,y,z) \rightarrow (X,Y,Z,w)$ mit $x = X/w$, $y = Y/w$, $z = Z/w$

Konvention : $w = 1$

→ Translation : $P' = P \cdot T$ mit $T = \begin{pmatrix} 1 & 0 & 0 & 0 \\ 0 & 1 & 0 & 0 \\ 0 & 0 & 1 & 0 \\ T_x & T_y & T_z & 1 \end{pmatrix}$

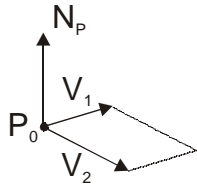
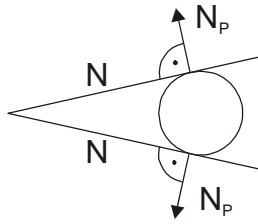
II.3. Culling (Backface Elimination)

- Entfernen der nicht-sichtbaren Polygone
- Vergleich der Orientierung von Polygonen mit dem Viewpoint

Einfacher, schneller „Algorithmus“:

Polygon ist unsichtbar, falls der Winkel zwischen Normalenvektor des Polygons N_P und dem „Line of sight“ – Vektor $N > 90^\circ$ ist.

„Beweis“:



$$\Theta(N_p, N) < 90^\circ \Leftrightarrow N_p \cdot N > 0 \quad \left(\cos \Theta = \frac{N_p \cdot N}{|N_p| \cdot |N|} \right)$$

- N ist Ortsvektor des Punktes im SKS
- N_p wird berechnet aus 3 (nicht kollinearen) Ecken des Polygons

$$V_1 = P_1 - P_0$$

$$V_2 = P_2 - P_0$$

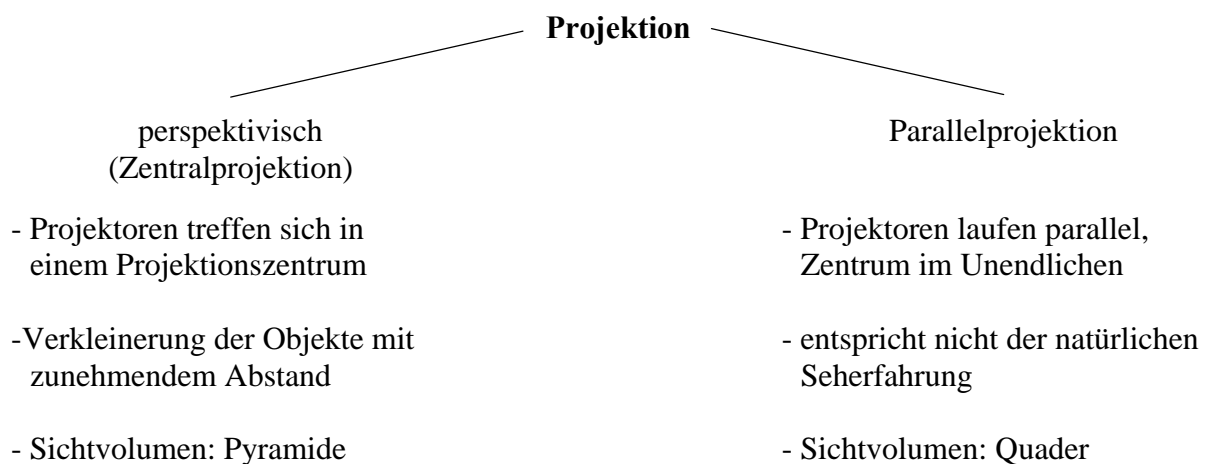
Bemerkungen:

- Einmalige Berechnung von N_p zu Beginn der Simulation
- Verwendung der Normalen auch beim Shading
- Im Durchschnitt ist die Hälfte aller Polygone unsichtbar

II.4. Projektion

Allgemein: n-dim. KS → n-1-dim. KS

Computergrafik: - 3D → 2D
 - planare Projektion
 ⇒ Geraden werden auf Geraden abgebildet



II.5. Eine *sehr* einfache Projektionsvorschrift

Annahmen:

- Zentralprojektion
- Keine „schräge“ Projektion
- Basis: SKS
- Normale der Abbildungsoberfläche ist parallel zur z-Achse
- Fester Abstand d des Projektionszentrums von der Abbildungsoberfläche

Gesucht: Für jeden Punkt P (x_v, y_v, z_v) der Objektgeometrie Schnittpunkt P' (x_s, y_s) des zugehörigen Projektors mit der Abbildungsoberfläche. „screen“

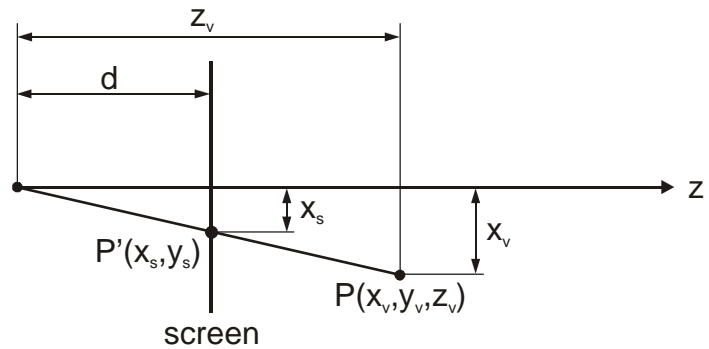
Ähnliche Dreiecke:

$$\frac{x_s}{d} = \frac{x_v}{z_v} \Rightarrow x_s = \frac{x_v \cdot d}{z_v}$$

Homogene Koordinaten:

$$X = x_v, \quad \dots, \quad w = \frac{z_v}{d}$$

$$(X, Y, Z, w) = (x_v, y_v, z_v, 1) \cdot T_{\text{Proj}} \quad \text{mit} \quad T_{\text{Proj}} = \begin{pmatrix} 1 & 0 & 0 & 0 \\ 0 & 1 & 0 & 0 \\ 0 & 0 & 1 & 1/d \\ 0 & 0 & 0 & 0 \end{pmatrix}$$



II.6. VR: Betrachterzentrierte, stereoskopische Projektion

Ziel: Exakte Übereinstimmung der visuellen Wahrnehmung realer und virtueller Objekte

Einschub:

II.6.1. Räumliches Sehen

Physiologische Anhaltspunkte

- Stereopsis: Interokularer Abstand → Disparität der Bilder auf Netzhaut
- Okulomotorische Faktoren
 - Akkomodation: Verformung der Linse („Scharfstellen“)
 - Konvergenz: Rotation der Augen – Sehachsen schneiden sich im fixierten Punkt
- Bewegungsparallaxe: relative Positionen verschieden weit entfernter Objekte ändern sich bei Kopfbewegungen unterschiedlich stark

Psychologische Anhaltspunkte

- Perspektivische Verkürzung
- Überdeckung von Objekten
- Licht und Schatten
- Texturgradienten
- Atmosphärische Perspektive
- Größe bekannter Gegenstände

II.6.2. VR-Sichtsysteme

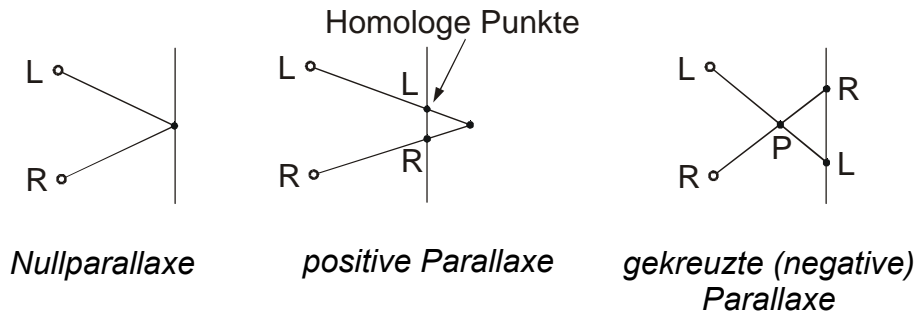
- Kopffeste Displays: bedingt geeignet im industriellen Einsatz
- Im folgenden: Kopferne, raumkonstante Displays

Stereopsis: → Stereobrillen

- Rot-grün (nur schwarz-weiße Darstellung möglich)
- Shutter (Nachteil: Nachleuchten [„ghosting“])
- Polarisation (2 Projektoren notwendig, Kopfdrehungen)

Je 1 Projektionszentrum pro Auge

⇒ Stereogramme

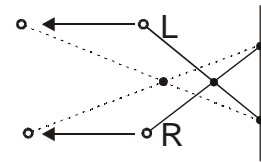


Problem: Starre Stereogramme nur korrekt für eine bestimmte Augenposition

Objekt bewegt sich mit Augenposition mit!

Für VR nicht akzeptabel!

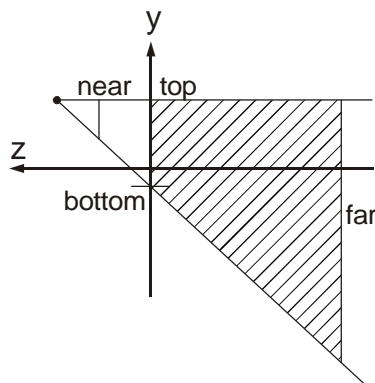
Lösung: Anpassung des Stereogramms an Augenposition des Betrachters in Echtzeit, Messung der Augenposition z.B. elektromagnetisch (Transformation: Sensor → Auge links/rechts)



► Betrachterzentrierte Projektion

II.6.3. Annahmen:

- Zentralprojektion
- Ausgangsbasis: Koordinatensystem mit
 - Ursprung in der Nähe des Abbildungsfensters
 - z-Achse parallel zur Normalen der Abbildungsebene
- Lage des Abbildungsfensters konstant im 3D-Raum
top, bottom, left, right, near, far
- Variable Augenposition $E(E_x, E_y, E_z)$
⇒ i.d. Regel schräge Projektion



Aufgabe:

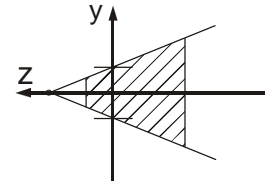
Überführung in eine Parallelprojektion im Einheitswürfel
(Kanonisches View-Volume)

II.6.4. Entwicklung der Projektionsmatrix in 6 Schritten

1. Schritt: Scherung des View-Volume

⇒ E auf der z-Achse, Koordinaten des Fensters (und der abzubildenden Punkte) unverändert

$$P_1 = SH_{xy} \left(\frac{-E_x}{E_z}, \frac{-E_y}{E_z} \right) = \begin{pmatrix} 1 & 0 & 0 & 0 \\ 0 & 1 & 0 & 0 \\ \frac{-E_x}{E_z} & \frac{-E_y}{E_z} & 1 & 0 \\ 0 & 0 & 0 & 1 \end{pmatrix}$$



$$\Rightarrow (x', y', z', w') = (x, y, z, 1) \cdot SH_{xy} = \left(x - \frac{E_x}{E_z} \cdot z, y - \frac{E_y}{E_z} \cdot z, z, 1 \right)$$

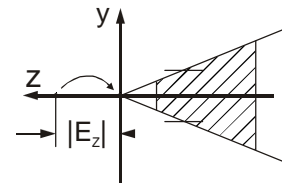
$$y' = y \text{ für } z = 0$$

$$y' = y - E_y \text{ für } z = E_z$$

2. Schritt : Translation von E auf den Ursprung

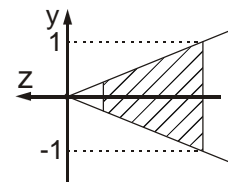
⇒ im 4. Schritt kann durch z geteilt werden.

$$P_2 = T(0,0,-E_z) = \begin{pmatrix} 1 & 0 & 0 & 0 \\ 0 & 1 & 0 & 0 \\ 0 & 0 & 1 & 0 \\ 0 & 0 & -E_z & 1 \end{pmatrix}$$



3. Schritt:

$$P_3 = S = \begin{pmatrix} \frac{2}{\text{right} - \text{left}} & 0 & 0 & 0 \\ 0 & \frac{2}{\text{top} - \text{bottom}} & 0 & 0 \\ 0 & 0 & 1 & 0 \\ 0 & 0 & 0 & 1 \end{pmatrix}$$



Skalierung des Fensters auf „Einheits-Rechte-Kante“

Obere, rechte Ecke des Abbildungsfensters:

$$(right', top', z', 1) = (right, top, z, 1) \cdot S = \left(right \cdot \frac{2}{\text{right} - \text{left}}, top \cdot \frac{2}{\text{top} - \text{bottom}}, z, 1 \right)$$

$$(\text{left} = -\text{right}, \text{top} = -\text{bottom})$$

4. Schritt: Skalierung als Funktion von z

Pyramide → Quader
Zentralprojektion → Parallelprojektion

$$P_4 = SZ = \begin{pmatrix} E_z & 0 & 0 & 0 \\ 0 & E_z & 0 & 0 \\ 0 & 0 & 0 & -1 \\ 0 & 0 & 1 & 0 \end{pmatrix} \Rightarrow (x', y', z', 1) = (x, y, z, 1) \cdot SZ = (x \cdot E_z, y \cdot E_z, 1, -z)$$

$$\text{Normalisierung: } \left(\frac{-x \cdot E_z}{z}, \frac{-y \cdot E_z}{z}, \frac{-1}{z}, -1 \right) \quad (*)$$

Geradengleichung für die y-Komponente der oberen Clipping-Ebene:

$$(1) \quad y = \frac{-1}{E_z} \cdot z$$

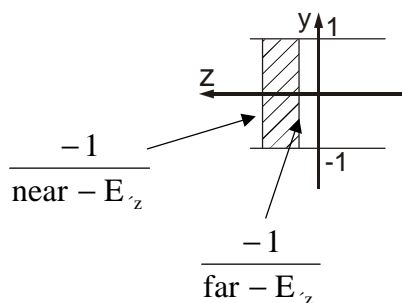
x-Komponente der beiden oberen Schnittgeraden zwischen oberer und linker/rechter Clipping-Ebene:

$$(2) \quad x = \frac{\pm 1}{-E_z} \cdot z$$

Einsetzen von (1) und (2) in (*):

$$\left(\frac{\pm 1}{-E_z} \cdot z \cdot \frac{E_z}{z}, \frac{-1}{-E_z} \cdot z \cdot \frac{E_z}{z}, \frac{-1}{z}, 1 \right) = \left(\pm 1, 1, \frac{-1}{z}, 1 \right)$$

\Rightarrow Kanten des View-Volumens haben (unabhängig von z) den Wert ± 1 .

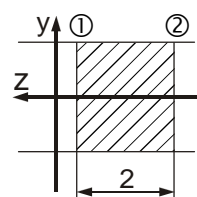


Verzerrung entlang der z-Achse

5. Schritt: Skalierung des View-Volumens in z-Richtung auf Länge 2

$$P_5 = S \left(1, 1, \frac{2(\text{far} - E_z)(\text{near} - E_z)}{\text{far} - \text{near}} \right)$$

$$\left| \frac{2(\text{far} - E_z)(\text{near} - E_z)}{\text{far} - \text{near}} \cdot \frac{-1}{\text{far} - E_z} - \frac{2(\text{far} - E_z)(\text{near} - E_z)}{\text{far} - \text{near}} \cdot \frac{-1}{\text{near} - E_z} \right| = 2 \quad \checkmark$$



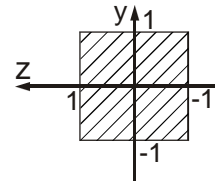
$$\begin{aligned} \textcircled{1} & - \frac{2(\text{near} - E_z)}{\text{far} - \text{near}} \\ \textcircled{2} & - \frac{2(\text{far} - E_z)}{\text{far} - \text{near}} \end{aligned}$$

6. Schritt: Translation in z-Richtung → View-Volume symmetrisch zum Ursprung

$$P_6 = T\left(0, 0, -\frac{2 \cdot E_z - \text{far} - \text{near}}{\text{far} - \text{near}}\right)$$

Vordere Clipping-Ebene

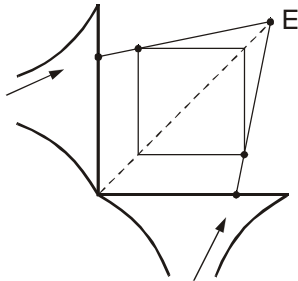
$$\left(x, y, -\frac{2(\text{near} - E_z)}{\text{far} - \text{near}}, 1\right) \cdot P_6 = (x, y, 1, 1)$$



Projektionsmatrix für die betrachterzentrierte Projektion:

$$\begin{pmatrix} \frac{2E_z}{\text{right} - \text{left}} & 0 & 0 & 0 \\ 0 & \frac{2E_z}{\text{top} - \text{bottom}} & 0 & 0 \\ -\frac{2E_x + \text{right} + \text{left}}{\text{right} - \text{left}} & -\frac{2E_y + \text{top} + \text{bottom}}{\text{top} - \text{bottom}} & \frac{2E_z - \text{far} - \text{near}}{\text{far} - \text{near}} & -1 \\ -\frac{\text{right} + \text{left}}{\text{right} - \text{left}} \cdot E_z & -\frac{\text{top} + \text{bottom}}{\text{top} - \text{bottom}} \cdot E_z & \frac{-E_z(2E_z - \text{far} - \text{near}) + 2(\text{far} - E_z)(\text{near} - E_z)}{\text{far} - \text{near}} & E_z \end{pmatrix}$$

II.6.5. Kombination mehrerer Abbildungsebenen:



II.7. Clipping

- punktweise: Einfach im Kanonischen Einheitswürfel
- Polygon Clipper: Sutherland-Hodgeman-Algorithmus
Skalarprodukt-Test

II.8. Hidden Surface Removal (HSR)

z-Buffer: Speicher, der für jeden Pixel den größten z-Wert beinhaltet

Genauigkeit abhängig von

- Länge der Worte im z-Buffer (üblich: 24 Bit / Pixel)
- Wahl der vorderen und hinteren Clipping-Ebene

Achtung: Es müssen die Punkte der 3D-Objekte verglichen werden, die auf demselben Projektor liegen. \Rightarrow Parallelprojektion (Bei α – Blending Szene von hinten nach vorne sortieren)

III. Licht und Reflexion

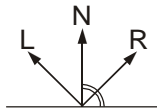
Lokale Reflexionsmodelle: Interaktion zwischen den Oberflächenpunkten der grafischen Objekte und den Lichtquellen, **keine** Reflexion von Oberfläche zu Oberfläche.

Reale Oberfläche

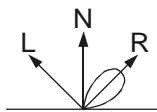


a)

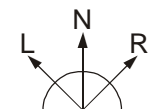
- Spiegelreflexion (Specular reflection) bei ideal glatter Oberfläche



- Gerichtete diffuse Reflexion



b) und c) diffuse Reflexion



Anteile abhängig von:

- Einfallswinkel des Lichts
- Betrachterstandpunkt
- Wellenlänge
- Oberflächenbeschaffenheit

III.1. Das Reflexionsmodell von Phong

Linearkombination aus 3 Komponenten:

– Diffuse – Specular – Ambient

– Diffuse Komponente:

I_i : Intensität einer punktförmigen Lichtquelle

k_d : Reflexionskoeffizient

ϑ : Winkel zwischen Polygonnormale N und „Lichtvektor“ L

$$I_d = I_i \cdot k_d \cdot \cos(\vartheta)$$

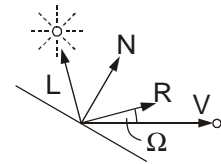
Vektorschreibweise: $I_d = k_d \cdot \sum I_{i,n} (L_n \cdot N)$

– Specular Komponente:

\hat{U} : Winkel zwischen Blickrichtung und Reflexionsvektor

n: Index für Oberflächenrauigkeit (perfekter Spiegel: $n \rightarrow \infty$)

$$I_s = I_i \cdot k_s \cdot \cos^n \Omega$$



– Ambiente Komponente:

$$I_g = I_a \cdot k_a$$

Beleuchtung von Flächen, die von der Lichtquelle aus nicht sichtbar sind.

Gesamtintensität: $I = I_a \cdot k_a + I_i (k_d \cdot (L \cdot N) + k_s \cdot (R \cdot V)^n)$

Problem: Berechnung von R

1. Annahme: Lichtquelle und Viewpoint im Unendlichen \Rightarrow L und V konstant

2. Ersetzen von $R \cdot V$ durch $N \cdot H$ mit $H := \frac{L + V}{2}$

\Rightarrow I hängt nur noch von N ab

Zusammenfassung:

- Lichtquellen punktförmig, keine Intensitätsverteilung
- Lichtquelle und Betrachter im Unendlichen
- Diffuse- und Specular-Komponente lokal
- Empirisches Modell für Specular-Komponente
- Farbe der Specular-Komponente gleich Farbe der Lichtquelle

III.2. Shading

Definition: (Inkrementelles, interpolatives) Shading

Anwendung eines Reflexionsmodells auf Polygone durch Berechnung der Intensitäten an den Polygonecken und Interpolation dieser Werte für die inneren Punkte

Computergrafik: Phong Reflexionsmodell

→ Flat Shading

→ Gouraud Shading

→ Phong Shading

–
Qualität
Komplexität
▼ +

III.2.1. Flat Shading

Keine Interpolation: Konstante Intensität der inneren Knoten

III.2.2. Gouraud Shading

→ Diffuse Komponente

1. Berechnung der Eckennormalen als Durchschnitt aus den angrenzenden Polygonnormalen
2. Berechnung der Intensitäten an jeder Ecke gemäß Phong-Modell

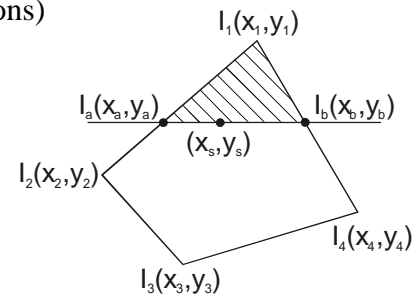
$$I_v = I_i \cdot k_d \cdot (L \cdot N)$$

3. Interpolationsprozess, zeilenweise (Scanline order) für die inneren Punkte:

- a) Intensität an Anfangs und Endpunkt (Kanten des Polygons)

$$I_a = \frac{1}{y_2 - y_1} (I_1(y_s - y_2) + I_2(y_1 - y_s))$$

$$I_b = \frac{1}{y_4 - y_1} (I_1 \dots)$$



- b) Intensität im Inneren der Scanline:

$$I_s = \frac{1}{x_b - x_a} (I_a(x_b - x_s) + I_b(x_s - x_a))$$

Diese Gleichung muss für jedes Pixel berechnet werden!

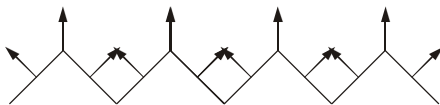
→ Implementierung als inkrementelle Berechnung

Probleme des Gouraud-Shading

- Keine Highlights in der Mitte von Polygonen

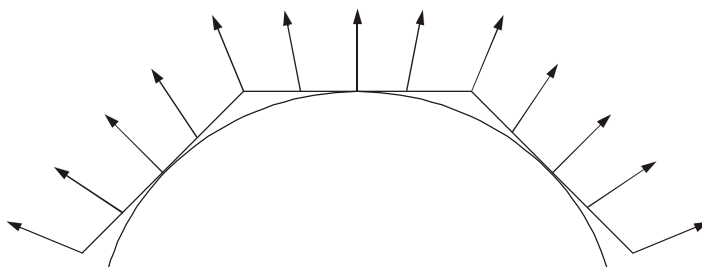


- „Wellenauslöschung“



III.2.3. Phong Shading

Rezept: Ersetze Interpolation der Intensität durch Interpolation der Eckennormalen



- Phong Shading: 3 mal komplexer als Gouraud (→ Vektor!)
- Außerdem: Berechnung der Intensität an jedem Pixel

Beschleunigung: Kombination von Gouraud und Phong
Interpoliere N nur für jedes 2. Pixel, dazwischen nur Intensität

IV. Scan Conversion (Rasterisierung)

Definition:

Scan Conversion bezeichnet den Vorgang, jedem Pixel des Abbildungsfensters einen Wert zuzuweisen.

Rasterisierung von Linien (bei Wireframe-Darstellung)

→ lineare Sequenz von Pixeln „ohne Lücken“

⇒ Bresenham-Algorithmus, 1965

IV.1. Im folgenden: „Solid Objects“

Polygonfill über horizontale Liniensegmente (Scanlines)

Gesucht:

rechte/linke Grenze eines Elements bzw. Schnittpunkte der Scanlinie mit den Polygonkanten

Algorithmus: „Digital Differential Analyser“ DDA

Seien (x_s, y_s) , (x_e, y_e) Start- und Endpunkt einer Polygonkante, o. B. d. A. $y_e > y_s$

```
x := x_s
m := (x_e - x_s) / (y_e - y_s)
for y := y_s to y_e do
  output(round(x), y)
  x := x + m
```

m, x: float

Integer-Variante : Swanson und Taylor (1986)

Bislang : Pixel entlang der Polygonkanten, jetzt :

IV.2. Füllen der Polygone

Datenstruktur: Kantenliste für jedes Polygon als Array A

lineare Listen

Alle A[y] auf NIL

(*)

Für jede Kante (x_s, y_s) , (x_e, y_e) des Polygons:

For y := y_s to y_e:

Wende DDA-Algorithmus an

output(round(x), y) → Hänge round(x) an die Liste A[y]

Sortiere A[y] nach aufsteigendem x

Bemerkungen:

- Geschlossene Polygone → gerade Anzahl von Listeneinträgen
- Algorithmus geeignet für konkave Polygone mit Löchern
- Insertsort: Sortieren direkt beim Einfügen in die Liste
- Verwendung ausschließlich konvexer Polygone: nur zwei Einträge pro Array-Element

Scan Conversion Algorithmus:

Für jedes Polygon:

```
Konstruiere Kantenliste A (*)
For y := ymin to ymax do
  Für jedes Paar (xi, xi+1) in A[y]
    Schattiere (xi, y) bis (xi+1, y)
```

Bemerkungen:

Hier: Rendering Polygon für Polygon

→ Reihenfolge der Polygone unwichtig

→ z - Buffer

→ gemeinsame Kanten werden doppelt gerendert

Alternative: Scan line order

→ mehrere Polygone gleichzeitig im Speicher

IV.3. Grafik-Hardware

Beschleunigung und Verbesserung

- Parallelismus
 - Pipelining → „makroskopisch“ (Rendering Pipe)
→ on chip (Float-Multiplikation)
 - „echt“ parallel (SIMD, ...)
- Chipentwicklung, Taktraten
- schnellere, breitere Busse
- Speicher (Auflösung, Farbauflösung, Texturen, z - Buffer)

2 Strategien

- Geometrie auf CPU, Scan Conversion auf Grafikkarte
- Beides auf Grafikkarte

2 grundsätzliche Parallelarchitekturen

- Partition
- Komposition

V. 3D - Akustik

V.1. Räumliches Hören

Lokalisation eines Schallsignals im Raum

Zusammensetzung aus:

- Lautstärke Unterschiedlich an beiden Ohren
- Tonhöhe
- Zeitlicher und spektraler Verlauf „binaurale Signale“

Information über Richtung und Entfernung

Kopfbezogenes Koordinatensystem

- Ursprung = Mittelpunkt des Kopfes
- Horizontalebene: Azimut-Winkel ϕ
- Medianebene: Elevationswinkel θ
- (Frontalebene)

V.1.1. Richtungshören in der Horizontalebene

Unterschiede des Schalldrucks und der Laufzeiten an beiden Ohren

Abgewandtes Ohr:

→ längere Laufzeit (0,5 – 1 ms)

→ frequenzabhängige Pegeldämpfung (10 – 25 dB) ab 150 Hz

V.1.2. Richtungshören in Medianebene

Informationsquelle: monoaural

- Spektrale Merkmale durch Reflexion an Ohrmuschel, Kopf und Schulter

V.1.3. Entfernungshören

Hauptmerkmal: Schalldruckpegel

+ Wissen über Art der Schallquelle

In Innenräumen:

Energiedifferenz zwischen Direktschall und Reflexion

Zusätzliche Hilfsmittel:

- Auge
- Peilbewegungen

V.2. Richtungsgetreue Wiedergabe akustischer Signale

2 Ansätze:

V.2.1. (Makroskopischer Ansatz)

Erzeugung des Originalschallfeldes im gesamten Raum

Großer Aufwand:

- Felder von Mikrophenen
- Nachbilden der Schallfeldverläufe über Felder von Lautsprechern

Praxis: Beschränkung auf Reproduktion der Intensitätsverläufe

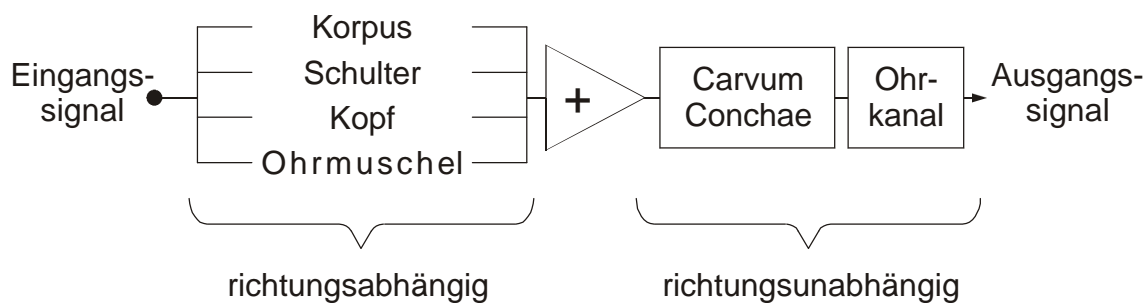
Vorteil: Richtungsgetreue Wiedergabe für alle Personen im Raum

V.2.2. 2. Mikroskopischer Ansatz!

Reproduktion der Intensitäts- und Phasenverläufe des Originalsignals nur am Ohr des Hörers.

Außenohrübertragungsfunktion (HRTF)

- Außenohr:
- Ohrmuschel } (5)
 - Ohrmuschelhöhle }
 - Ohrkanal (6)
 - Trommelfell (7)



V.2.3. Messung der HRTF

Maximalfolge: periodisches, pseudostatistisches Rauschsignal

wichtig: Reflexionsfreier Raum

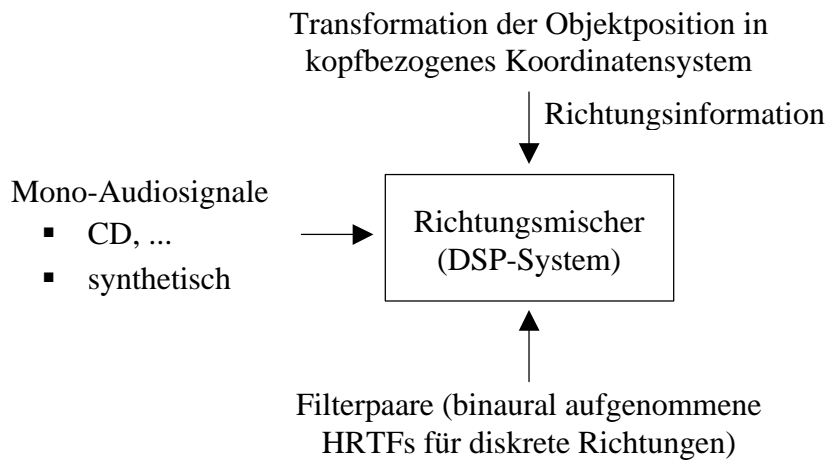
Elektret-Mikrofone

- in beide Ohrkanäle der Testperson → personenabhängig!
- Kunstkopfsystem

V.2.4. Wiedergabe der binauralen Aufnahmen

1. Kopfhörer

- einfach: Kanaltrennung schon gegeben
- Vorgehensweise: gegeben Position des virtuellen, geräuschverursachenden Objekts und der Kopfposition und Orientierung im Weltkoordinatensystem



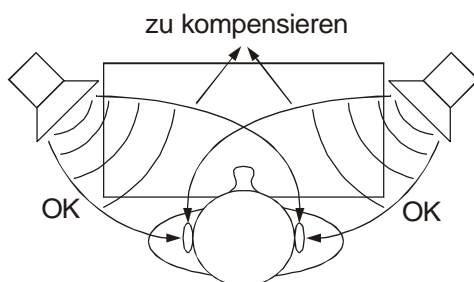
Probleme mit Kopfhörern:

- Tragekomfort
- Beeinträchtigung des Räumlichkeitsempfindens
→ Im-Kopf-Lokalisation

2. Über 2 Lautsprecher

Neue Probleme:

- Reflexionen
 - Übersprechen der beiden Stereokanäle
- Lösung: Übersprechkompensation



V.2.5. Übersprechkompensation

2 Ansätze:

- I. geschlossene Lösung
- II. Iterative Lösung

→ Kopie

zu I:

Gesucht: Y_L und Y_R unter der Bedingung $Z_L = X_L$ und $Z_R = X_R$

Es gilt:

$$Z_L = Y_L \cdot L \cdot O_{LL} + Y_R \cdot R \cdot O_{LR} \stackrel{!}{=} X_L$$

$$Z_R = Y_R \cdot R \cdot O_{RR} + Y_L \cdot L \cdot O_{RL} \stackrel{!}{=} X_R$$

$$Y_L = L^{-1} \left[\frac{O_{RR}}{O_{LL} O_{RR} - O_{LR} O_{RL}} \cdot X_L - \dots \right]$$

Theoretisch ideale Lösung, aber:

tiefe Frequenzen: $O_{LL} \approx O_{LR}$ und $O_{RR} \approx O_{RL}$

zu II.: Iteratives Kompensationsmodell

Abhörende Person: O_{XX}

Kunstkopf: AO_{XX}

1. Rausfiltern von Lautsprecher und HRTF der abhörenden Person

$$Z_R = X_R = X_R \cdot \underbrace{R^{-1} \cdot AO_{RR}^{-1}}_{\text{Filterblock RR}} \cdot R \cdot O_{RR}$$

2. 1. Iterationsschritt

Signal vom rechten Lautsprecher $Y_R = X_R \cdot R^{-1} \cdot AO_{RR}^{-1}$ trifft auf linkes Ohr
 gesuchtes Filter

$$X_R \cdot \left[R^{-1} \cdot AO_{RR}^{-1} \right] \cdot R \cdot O_{LR} - \underbrace{X_R \cdot [K_{1R}] \cdot L \cdot O_{LL}}_{\text{Kompensation}} \stackrel{!}{=} 0$$

$$\Rightarrow K_{1R} = \underbrace{L^{-1} \cdot AO_{RR}^{-1}}_{\text{Block RL}} \cdot \begin{pmatrix} O_{LR} \\ O_{LL} \end{pmatrix}$$

3. 2. Iterationsschritt

$$-X_R \cdot \left[L^{-1} \cdot AO_{RR}^{-1} \begin{pmatrix} O_{LR} \\ O_{LL} \end{pmatrix} \right] \cdot L \cdot O_{RL} + X_R \cdot [K_{2R}] \cdot R \cdot O_{RR} \stackrel{!}{=} 0$$

$$\Rightarrow K_{2R} = \underbrace{R^{-1} \cdot AO_{RR}^{-1}}_{\text{Wieder Block RR}} \cdot \underbrace{\frac{O_{LR} \cdot O_{RL}}{O_{LL} \cdot O_{RR}}}_{:= K}$$

4. 3. Iterationsschritt

$$X_R \cdot \left[R^{-1} \cdot AO_{RR}^{-1} \cdot K \right] \cdot R \cdot O_{LR} - X_R \cdot [K_{3R}] \cdot L \cdot O_{LL} \stackrel{!}{=} 0$$

$$\Rightarrow K_{3R} = \underbrace{L^{-1} \cdot AO_{RR}^{-1}}_{\text{Block RL}} \cdot \begin{pmatrix} O_{LR} \\ O_{LL} \end{pmatrix} \cdot K$$

5. 4. Iterationsschritt

$$\Rightarrow K_{4R} = R^{-1} \cdot A O_{RR}^{-1} \cdot K^2$$

$$\sum_{i=0}^{\infty} K^i = \frac{1}{1-K} \quad \text{mit} \quad K = \frac{O_{LR} \cdot O_{RL}}{O_{LL} \cdot O_{RR}}$$

$$\Rightarrow \dots = \frac{O_{LL} \cdot O_{RR}}{O_{LL} \cdot O_{RR} - O_{LR} \cdot O_{RL}}$$

Schlussbemerkungen:

- Kompensation nur gültig für feste Kopfposition
→ positionsabhängige Übersprechkompensation: aktuelle Forschung
- Hier gar nicht behandelt: Raumakustik
Problem: Echtzeit

VI. Erfassung menschlicher Bewegungen

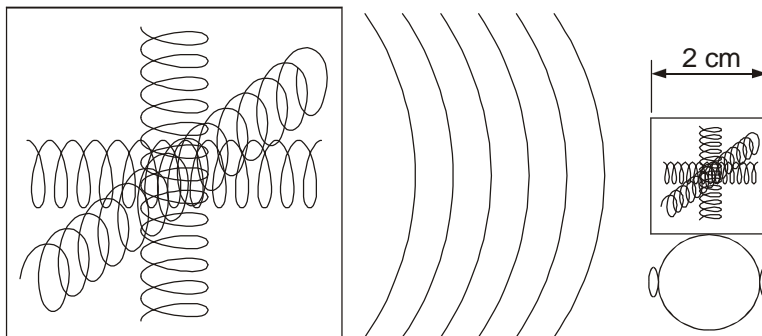
Messprinzipien: z. B. mechanisch, elektromagnetisch, optoelektronisch, Ultraschall, ...

Kriterien

- Messgröße: Position, Orientierung, Winkel, Beschleunigung, ...
- Dimension der Erfassung (VR → 3D) und Anzahl der erfassten Gelenke
- Messgenauigkeit
- Größe des Messraums
- Echtzeitfähigkeit, Automatismus
- Grad der „Rückwirkung“

VR:

- Elektromagnetische Trackingsysteme
 - + messen Position **und** Orientierung
 - + keine Verdeckungsprobleme
 - Störanfälligkeit gegenüber ferromagnetischen Umgebungen
 - abnehmende Genauigkeit mit zunehmendem Abstand vom Sender
 - relativ große Sensoren



- Datenhandschuhe
 - Messung der Fingergelenkwinkel (Glasfaser, Dehnungsmessstreifen)
 - Sinnvoll nur in Kombination mit anderen Messtechniken
 - + Anzahl erfasster Gelenke
 - Fehlerfortpflanzung
 - Rückwirkung
 - Problem: Daumenrotation (Greifbewegungen)
- Optoelektronische Systeme
 - Erfassung der 2D-Position von Markern über ≥ 2 Infrarotkameras
 - passiv: Licht reflektierende Marker
 - aktiv: Licht emittierende Marker
 - sequentielle Ansteuerung → Identifikation trivial
 - Echtzeit
 - Ermitteln der 3D-Position aus den Kamerabildern, z.B. über direkte lineare Transformation
 - + Genauigkeit und Abtastraten hoch
 - + Geringe Rückwirkung
 - Verdeckung
 - Kalibrierungsaufwand
 - Keine Orientierung

Gesucht: Position und Orientierung der einzelnen Körpersegmente im 3D - Raum

Strategie: Positioniere ≥ 3 (nicht-kollineare) Marker „irgendwo“ auf dem Körpersegment

(Alternative: „Anatomic Landmarks“)

=> Referenzmessung notwendig!

Grundgleichung:

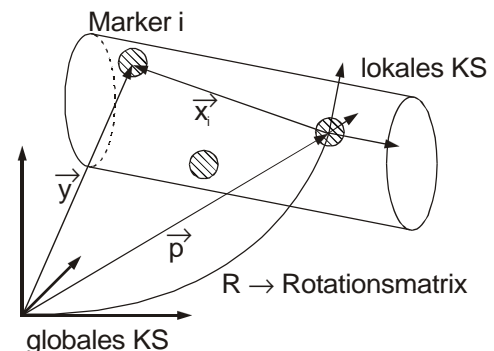
$$\vec{y}_i = R \vec{x}_i + \vec{p}$$

Ermitteln von \vec{x}_i über Referenzmessung:

Positionierung des Segments so, dass Orientierung

R_{ref} relativ zum globalen Koordinatensystem bekannt

$$\vec{x}_i = R_{\text{ref}}^{-1} (\vec{y}_{\text{ref}} - \vec{p})$$



Gesucht: R und \vec{p}

Lösung: Methode der kleinsten Fehlerquadrate

Least Squares Method

Problem: \vec{x}_i , \vec{y}_i sind ungenau

- Ungenauigkeit des Messsystems
- Hautverschiebungen
- Referenzmessung

- Bestimmung unbekannter Parameter durch eine Reihe von Messungen
- Parameter nicht exakt bestimmbar, Ziel: Minimale Abweichung
- Restvektor $\vec{r} = R \vec{x}_i + \vec{p} - \vec{y}_i$
- Euklidische Vektornorm von \vec{r} ist Maß für Fehler

$$\|\vec{r}\| = \sqrt{\sum_{i=1}^3 r_i^2} = \sqrt{\vec{r}^T \vec{r}}$$

- Minimiere die Summe der Quadrate der Euklidischen Vektornorm der Restvektoren aller Marker eines Segments
 $n := \text{Anzahl Marker}, n \geq 3$

$$\text{Min} \left\{ \frac{1}{n} \sum_{i=1}^n \vec{r}^T \vec{r} \right\} = \text{Min} \left\{ \frac{1}{n} \sum_{i=1}^n \left(\vec{R} \vec{x}_i + \vec{p} - \vec{y}_i \right)^T \left(\vec{R} \vec{x}_i + \vec{p} - \vec{y}_i \right) \right\}$$

Algorithmus für Bestimmung von R

1. $\vec{x}_m = \frac{1}{n} \sum_{i=1}^n \vec{x}_i$, $\vec{y}_m = \frac{1}{n} \sum_{i=1}^n \vec{y}_i$
 2. $x = \left(\left(\vec{x}_1 - \vec{x}_m \right), \left(\vec{x}_2 - \vec{x}_m \right), \dots, \left(\vec{x}_n - \vec{x}_m \right) \right)$
 $y = \left(\left(\vec{y}_1 - \vec{y}_m \right), \left(\vec{y}_2 - \vec{y}_m \right), \dots, \left(\vec{y}_n - \vec{y}_m \right) \right)$
 3. $C = Y \cdot X^T$ (Korrelationsmatrix)
 4. $C = U \cdot W \cdot V^T$ (Singulärwertzerlegung)
 $R = U \cdot V^T$
- $$\vec{p} = \vec{y}_m - R \vec{x}_m$$

VII. Kollisionen (Collision Detection, CD)

Motivation: Verbesserung der 3D-Interaktion in virtuellen Umgebungen

- **Objekt–Objekt–Interaktion**
 - Realistisches Verhalten virtueller Gegenstände
 - Objekte dürfen sich nicht durchdringen
 - Physikbasierte Modellierung
- **Benutzer–Objekt–Interaktion**
 - Direkte Interaktion im 3D-Raum
 - Insbesondere: Haptisches Feedback

VII.1. Anwendungen:

- Montagesimulation, Einbauuntersuchungen
- Architectural walkthrough, Fahrsimulation
- Roboterprogrammierung
- ...

VII.2. Fundamentaler Algorithmus

Gegeben:

Applikation $\left\{ \begin{array}{l} N \text{ Objekte } O_0, \dots, O_{N-1} \\ \text{Simulationsintervall } [t_0, t_1] \\ \Delta t_r \text{ Rendering-Zeitschritt} \end{array} \right.$

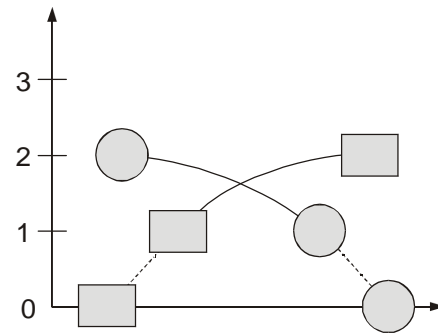
CD-Algorithmus: Δt_d Detection-Zeitschritt

mit $\Delta t_r = m \cdot \Delta t_d$; $m \in \mathbb{N}$ (u. U. $m = 1 \Rightarrow \Delta t_r = \Delta t_d$)

VII.2.1. Schwächen des Algorithmus:

- **Fixed timestep** (Δt_d , Zeile 17)

Kollisionen zwischen Zeitschritten werden nicht erkannt



Δt_d klein: exakt
 Δt_d groß: effizienter

} $\Rightarrow \Delta t_d$ adaptiv!

Anpassen an die Wahrscheinlichkeit einer Kollision

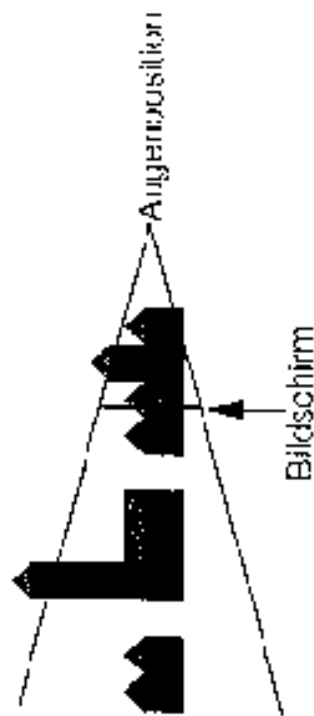
- **all pairs** (Zeile 19 ff)
 Aufwand: $O(N^2)$ (Verarbeitungszeit steigt quadratisch an!)
 \Rightarrow Problem für $N \gg 1$
 besser: Weit entfernte Objekte gar nicht auf Kollision testen
- **pair processing** (Zeile 21 ff)
 Intersection Test aufwendig für komplexe Geometrien (VR: große Anzahl Polygone)

VII.2.2. Beispiele für Verbesserungen des fundamentalen Algorithmus

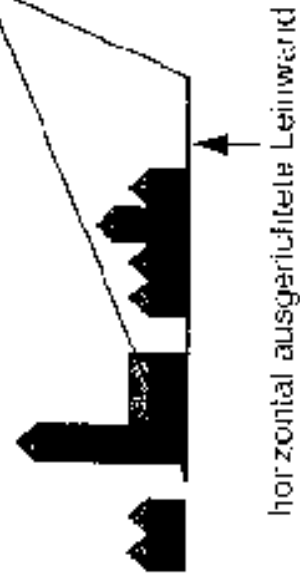
- **3D Subdivision Methods**
 Idee: - Unterteilung des 3D-Raums in Regionen
 - 2 Objekte können nur in derselben Region kollidieren
 Varianten: - Uniform Grid
 - Octrees
 - Binary Space Partitioning
- **Approximative Collision Detection**
 Idee: Nicht die Geometrien, sondern Approximationen der Geometrien werden auf Kollisionen getestet. Approximation muss konservativ gewählt werden:
 Kollision der Geometrien \Rightarrow Kollision der Approximation
 \Leftarrow
 Intersection Test: nicht ja/nein
 \rightarrow vielleicht / nein
- **Unterbrechbare Collision Detection**
 Idee: Basis ist approximative Collision Detection, aber: Unterstützung mehrerer Exaktheitsstufen „solange noch Zeit“
 Verfeinerte Approximation für „Vielleicht-Objekte“
 Erneuter Intersection Test
 Interpretiere noch vorhandene „Vielleicht“-Antworten als „ja“
- **Zeitkritische Collision Detection**
 Idee: Basis ist unterbrechbare Collision Detection, aber Vorhersage möglicher Kollisionen.
 2 Phasen:
 1. Broad Phase: - Obere Schranken für die Beschleunigung aller Objekte
 - Approximation (z.B. Bounding Spheres)
 2. Narrow Phase: - Beginnt, falls Broad-Phase eine „vielleicht-Antwort“ liefert
 - identisch mit unterbrechbarer Collision Detection

Erweiterung des Interaktionsvolumens

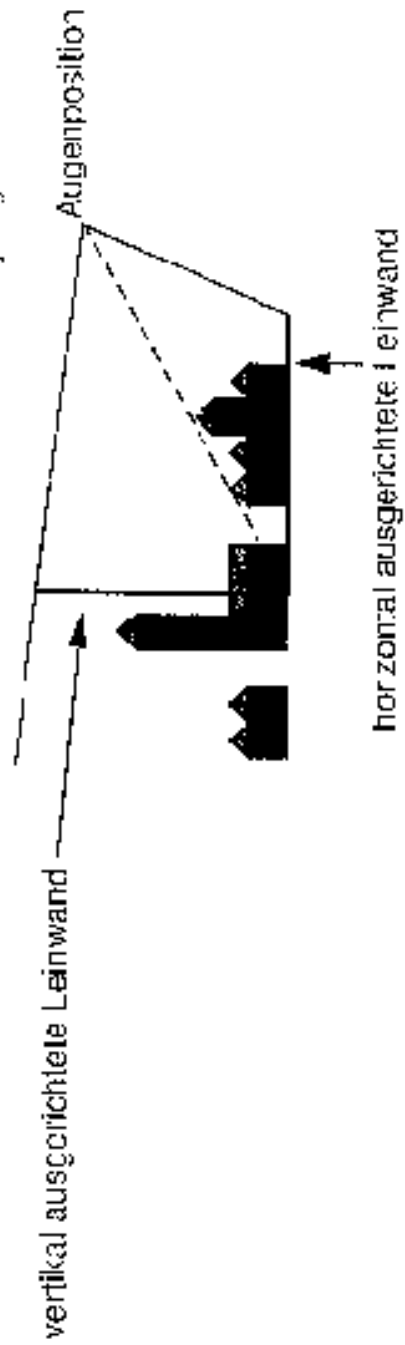
Einfache monitorbasierte Projektion



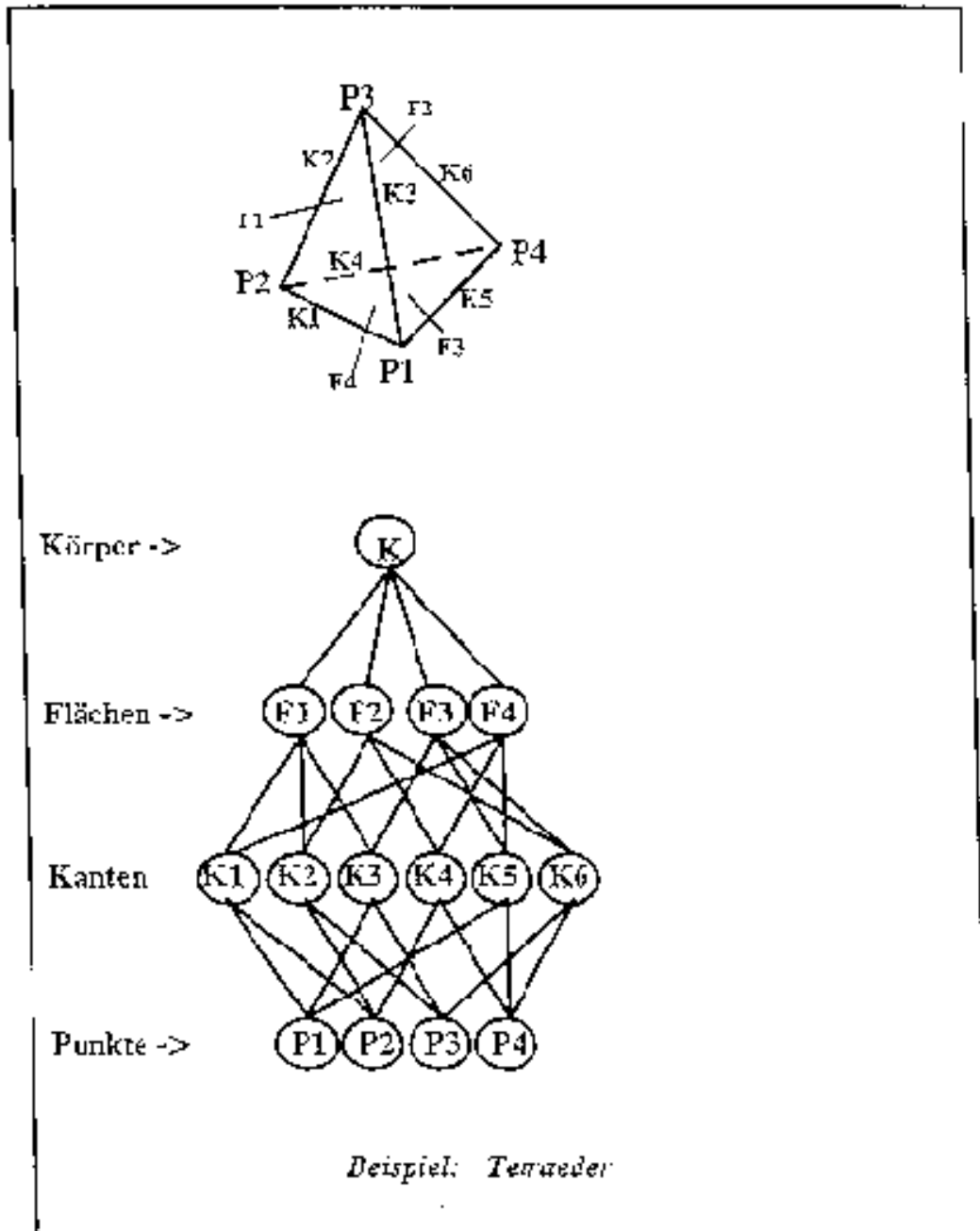
Virtual Workbench:
Großbild-Rückprojektion
Augenposition



Virtual Workspace:
kombinierte horizontale und vertikale Rückprojektion



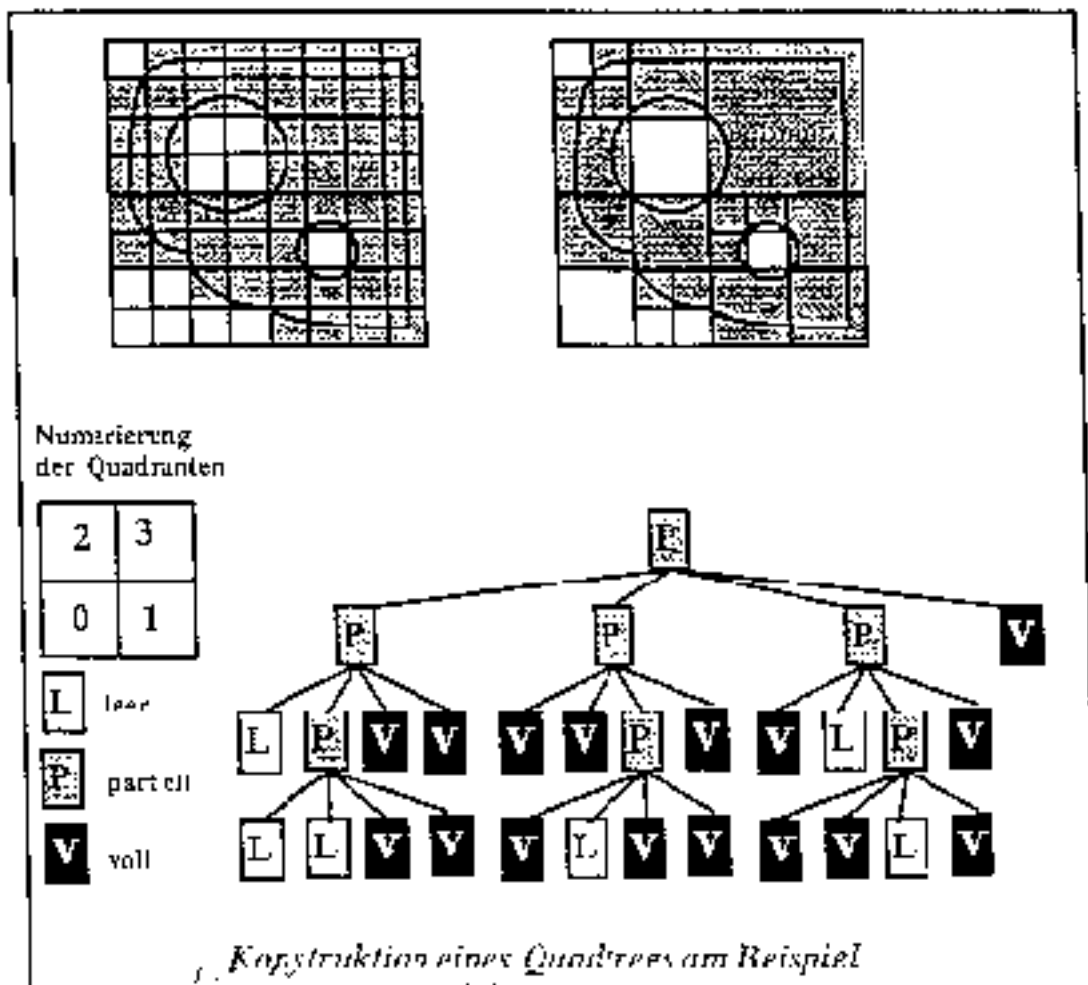
Polygonale Darstellung: Explizites Speichern von Kanten



Raumunterteilende Techniken

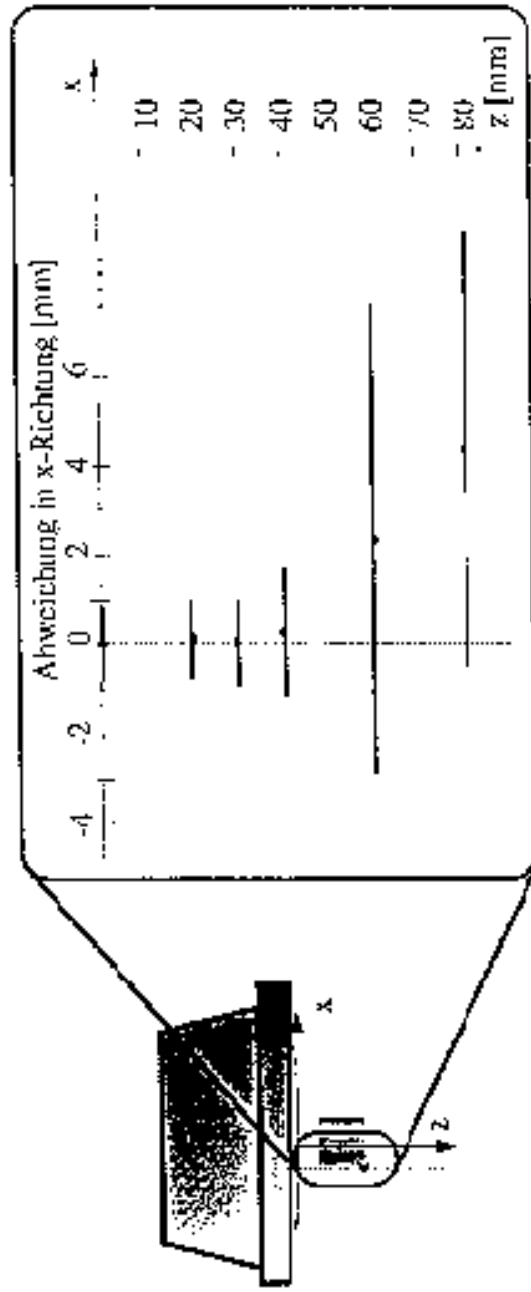
Aufbau eines Octree

- Die Quader mit der Markierung "partiell" werden in Oktanten unterteilt und es werden Bögen vom unterteilten Quader zu jedem Oktanten gezogen.
- Die Oktanten werden markiert und gegebenenfalls weiter unterteilt.
- Der Prozeß wird so lange fortgesetzt, bis alle Oktanten entweder mit "weiß" oder "schwarz" markiert sind oder eine gegebene Rekursionstiefe erreicht ist.

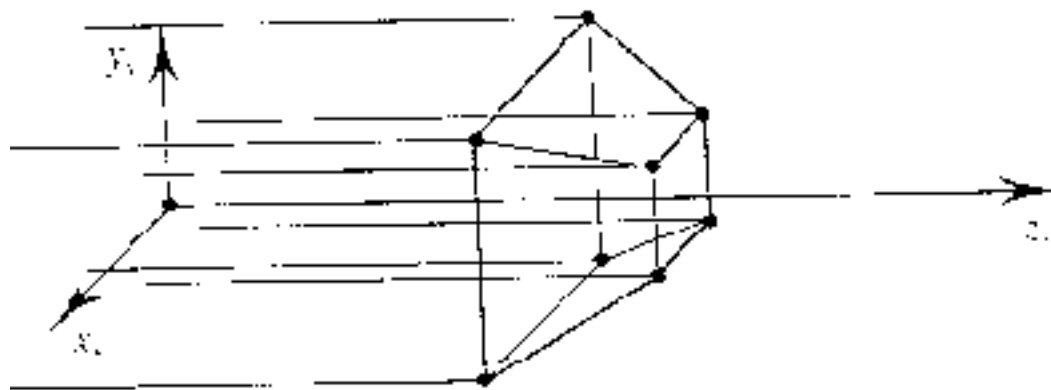
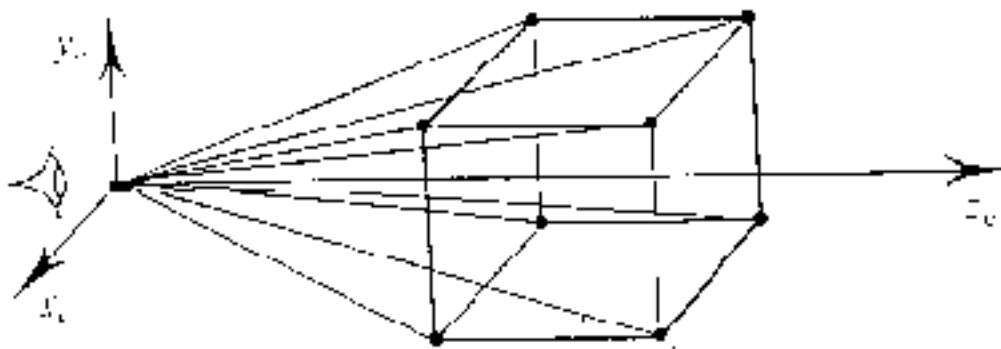


Wahrnehmung betrachterzentriert visualisierter Objekte

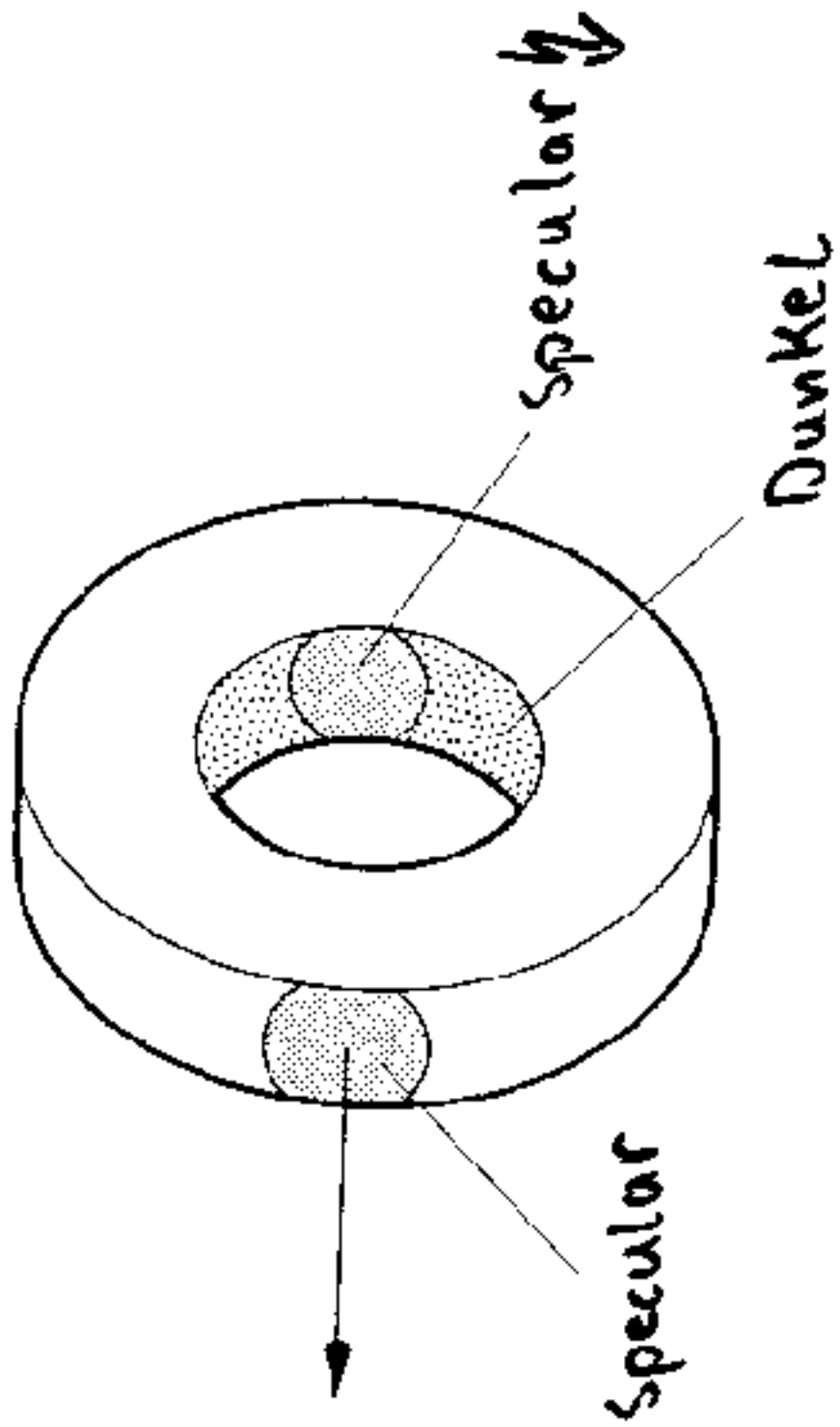
Abweichung der wahrgenommenen x-Position von der Sollposition für verschiedene Abstände z zwischen Objekt und Abbildungsebene



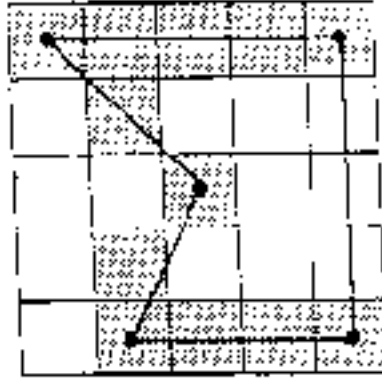
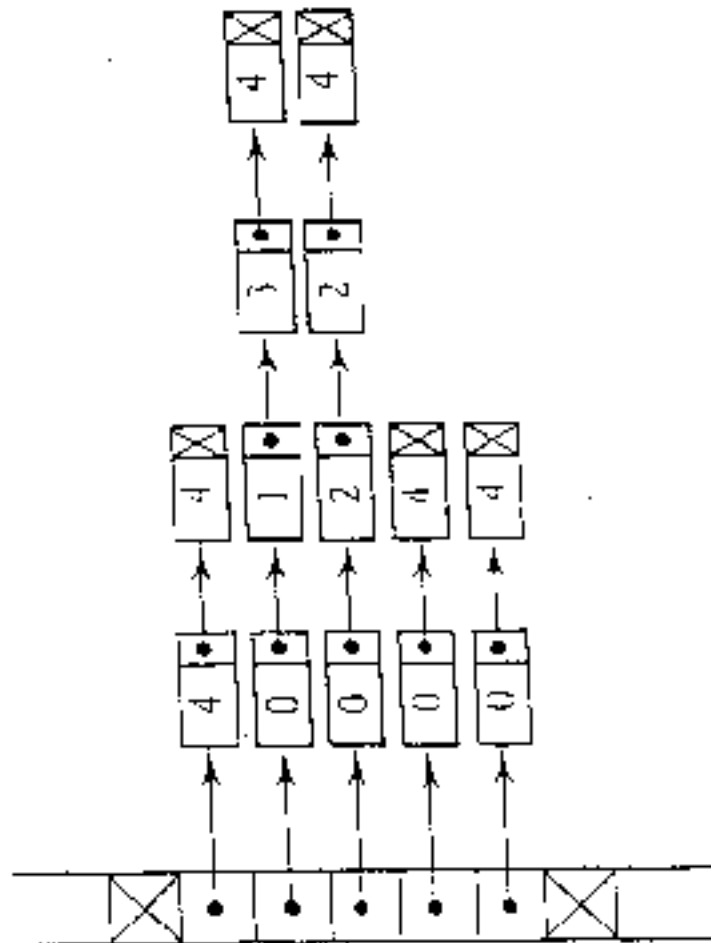
z-Buffering bei Parallelprojektion

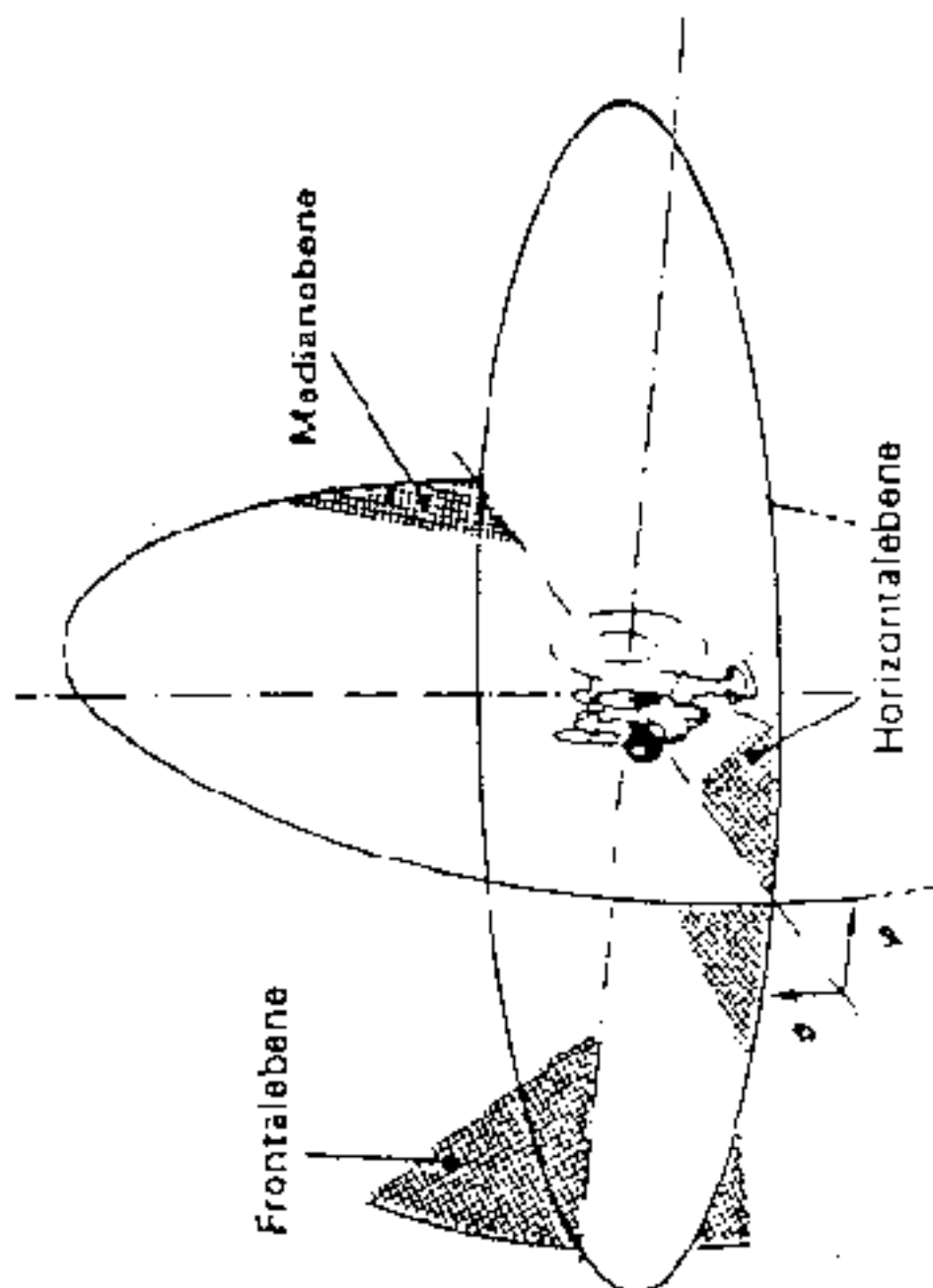


Fehler des Phong-Modells

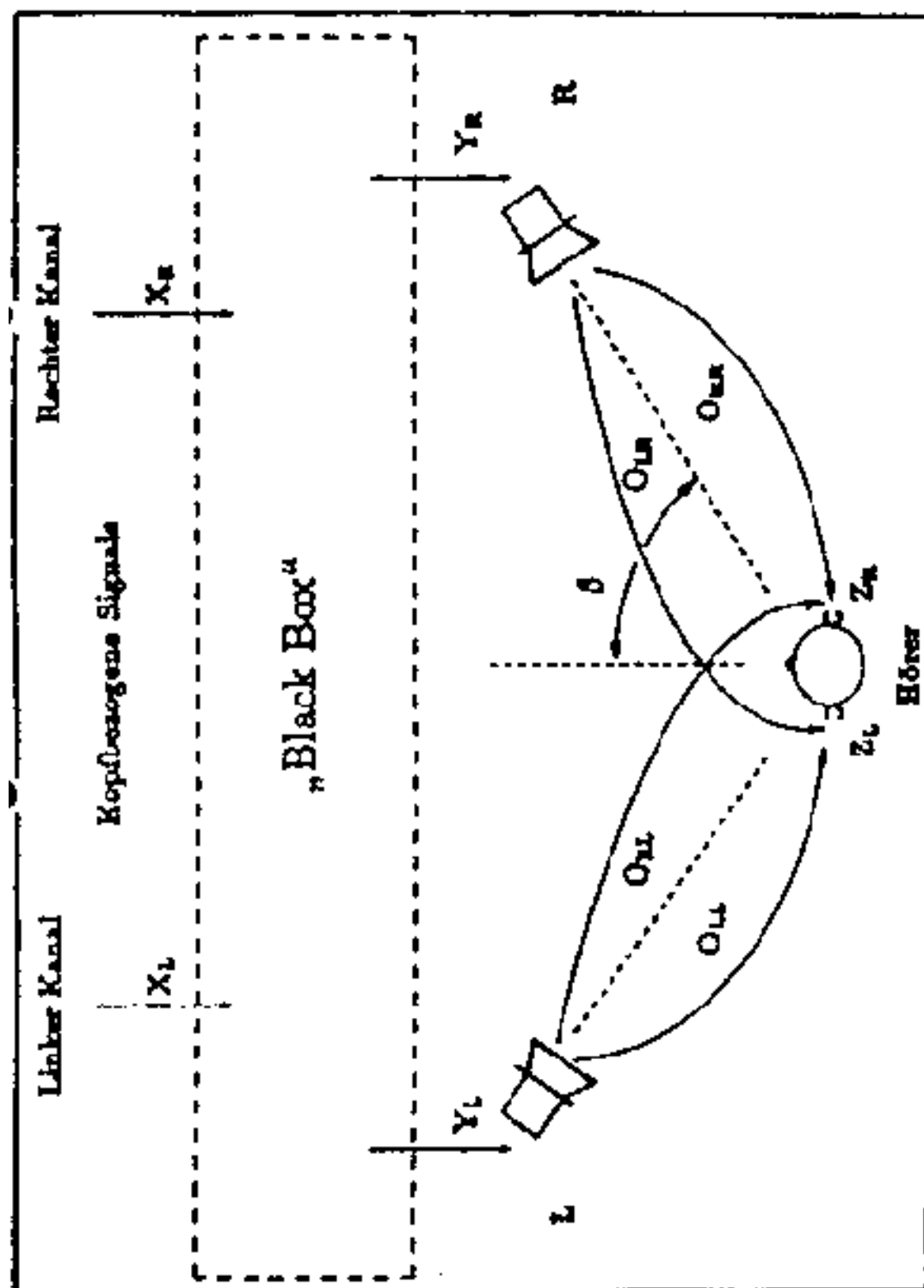


Kantenliste zur Robotisierung von Polygonen

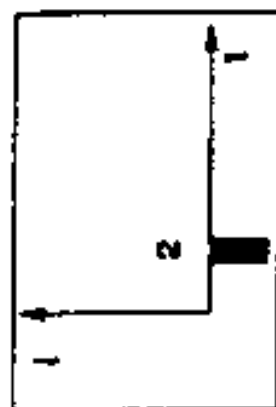




Kopfbezogenes Koordinatensystem



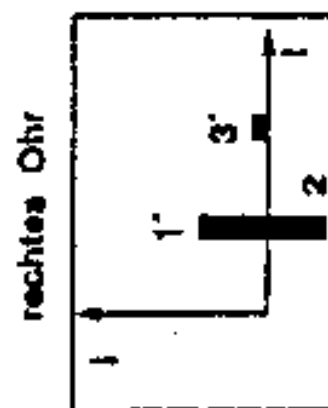
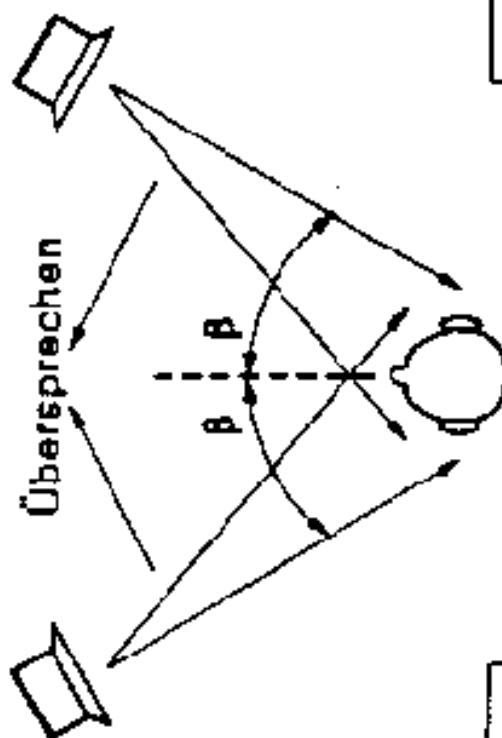
Schema einer Wiedergabe binauraler Signale mit Lautsprechern



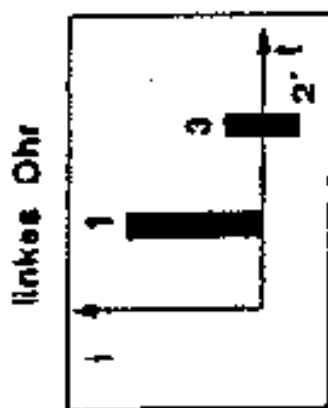
rechter Lautsprecher



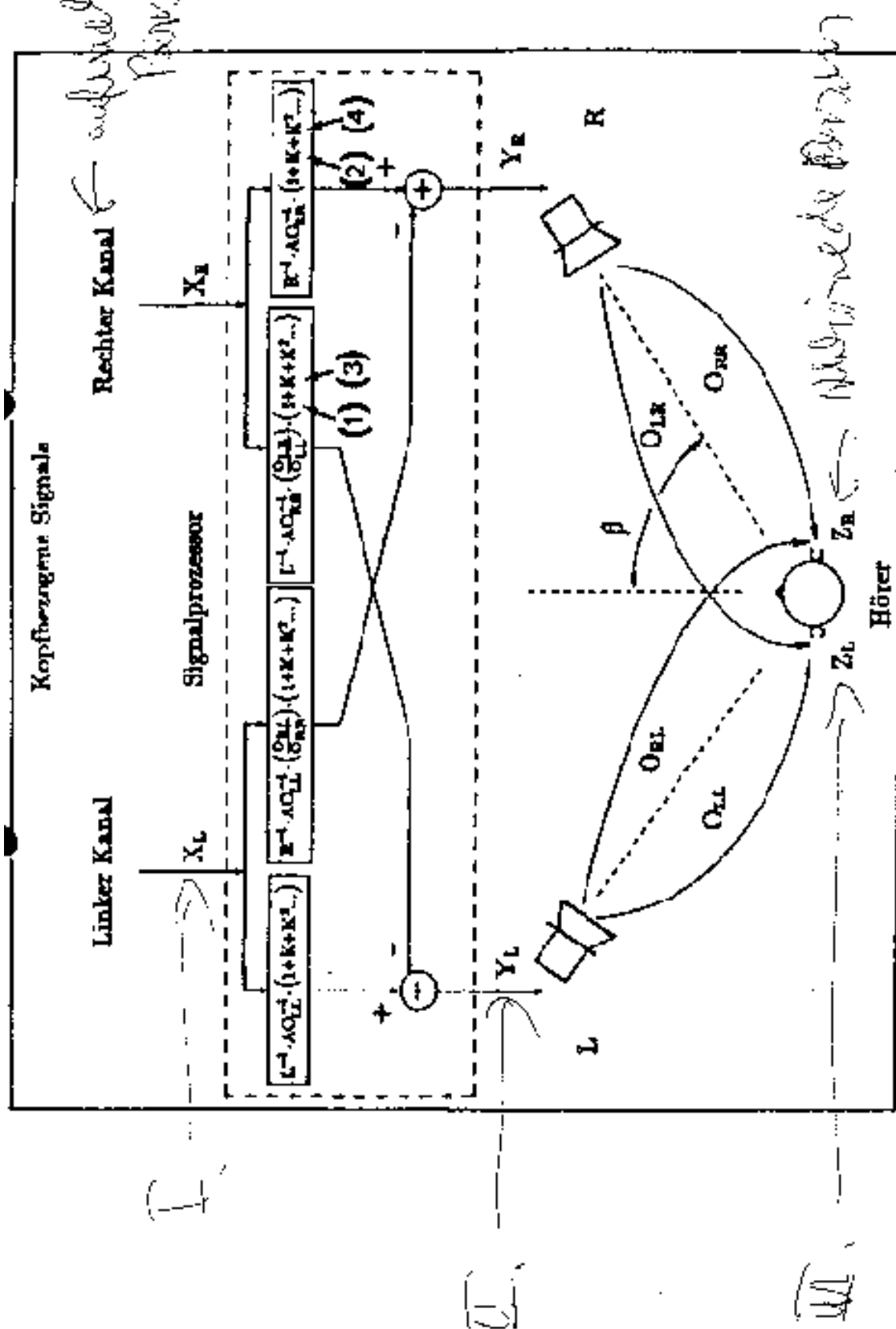
linker Lautsprecher



rechtes Ohr



linkes Ohr



Übersprechkompensation mit unendlich fortgesetzter Iteration

```

1  application()
2  {
3      for  $t \leftarrow t_0$  to  $t_1$  in steps of  $\Delta t$  {
4          get user input
5          update behavior of each object in  $\{O_0, \dots, O_{N-1}\}$  as of  $t$ 
6          update any other general bookkeeping
7          do {
8               $result \leftarrow detect(t, \{O_0, \dots, O_{N-1}\})$ 
9              if ( $result$  contains collisions)
10                 collision response
11          } while ( $result$  contains collisions)
12          render each object in  $\{O_0, \dots, O_{N-1}\}$  as of  $t$ 
13      }
14  }

/* The variable  $t_{prev}$  persists between calls. */
/* Before first call,  $t_{prev}$  is initialized to  $t_0$  */
15 detect( $t_{curr}, \{O_0, \dots, O_{N-1}\}$ )
16 {
17     for  $t \leftarrow t_{prev}$  to  $t_{curr}$  in steps of  $\Delta t_d$  {
18         move each object in  $\{O_0, \dots, O_{N-1}\}$  to its position as of  $t$ 
19         for each object  $O_i \in \{O_0, \dots, O_{N-1}\}$  {
20             for each object  $O_j \in \{O_i, \dots, O_{N-1}\}$ 
21                 if (pair-processing algorithm says  $O_i, O_j$  intersect)
22                     add  $O_i, O_j$  to collisions
23         }
24         if (collisions exist) {
25              $t_{prev} \leftarrow t$ 
26             return (collisions,  $t$ )
27         }
28     }
29      $t_{prev} \leftarrow t_{curr}$ 
30     return (no collisions,  $t_{curr}$ )
31 }

```

Figure 2.1: A basic detection algorithm for a simple application.

```

1  application()
2  {
3      for  $t \leftarrow t_0$  to  $t_1$  in steps of  $\Delta t_r$  {
4          get user input
5          update behavior of each object in  $\{O_0, \dots, O_{N-1}\}$  as of  $t$ 
6          update any other general bookkeeping
7          do {
8               $result \leftarrow detect(t, \{O_0, \dots, O_{N-1}\})$ 
9              while (( $result$  is "maybe") and
10                  (more processing time is available))
11                  /*  $detect(t, result)$  knows to refine  $result$ . */
12                   $result \leftarrow detect(t, result)$ 
13              if ( $result$  is "maybe")
14                  collision response
15          } while ( $result$  is "maybe")
16          render each object in  $\{O_0, \dots, O_{N-1}\}$  as of  $t$ 
17      }
18  }

```

Figure 3.2 A simple application that calls a time-critical detection algorithm, `detect()`